





Una Introducción a los Sistemas de Generación Eólica

Dr. Oscar Carranza Castillo

5 de abril de 2013

Introducción

- Auge de las Energías Renovables para la obtención de Energía Eléctrica
 - ■Alto Costo de los Combustibles Fósiles
 - □Fuentes Alternativas de Energía

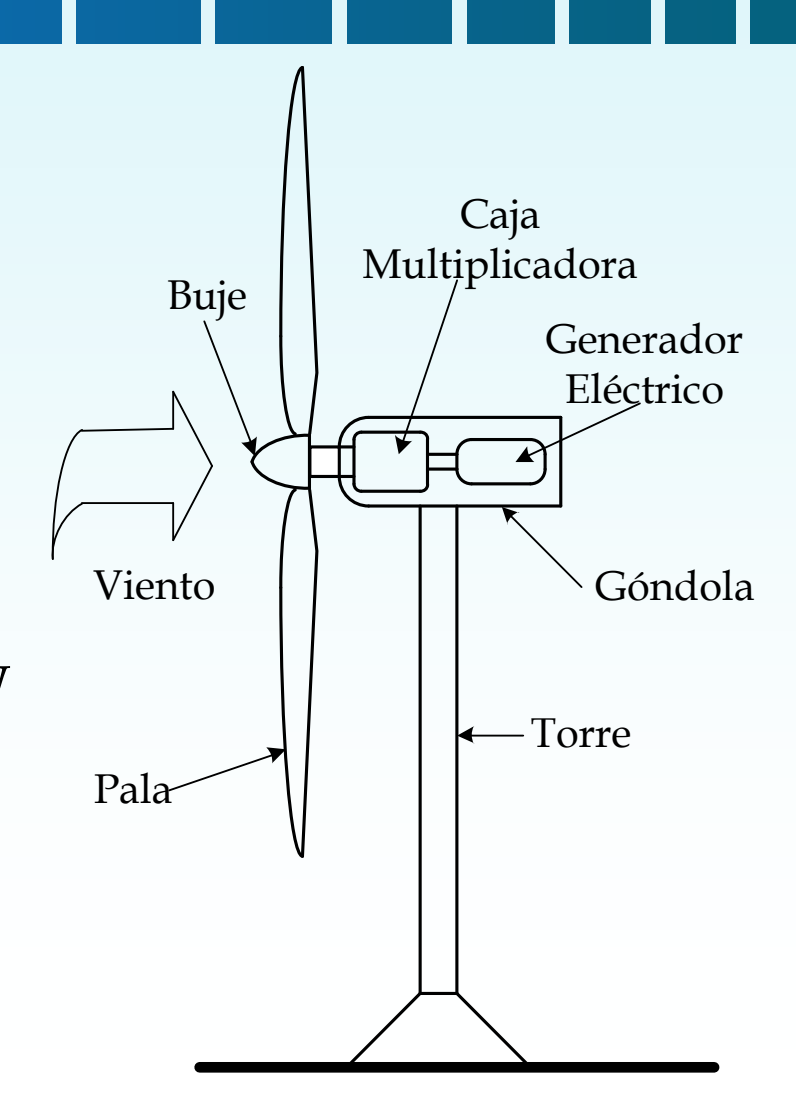


- Energía Eólica
 - ☐ Estudios de Lugares donde es viable colocar Aerogeneradores.

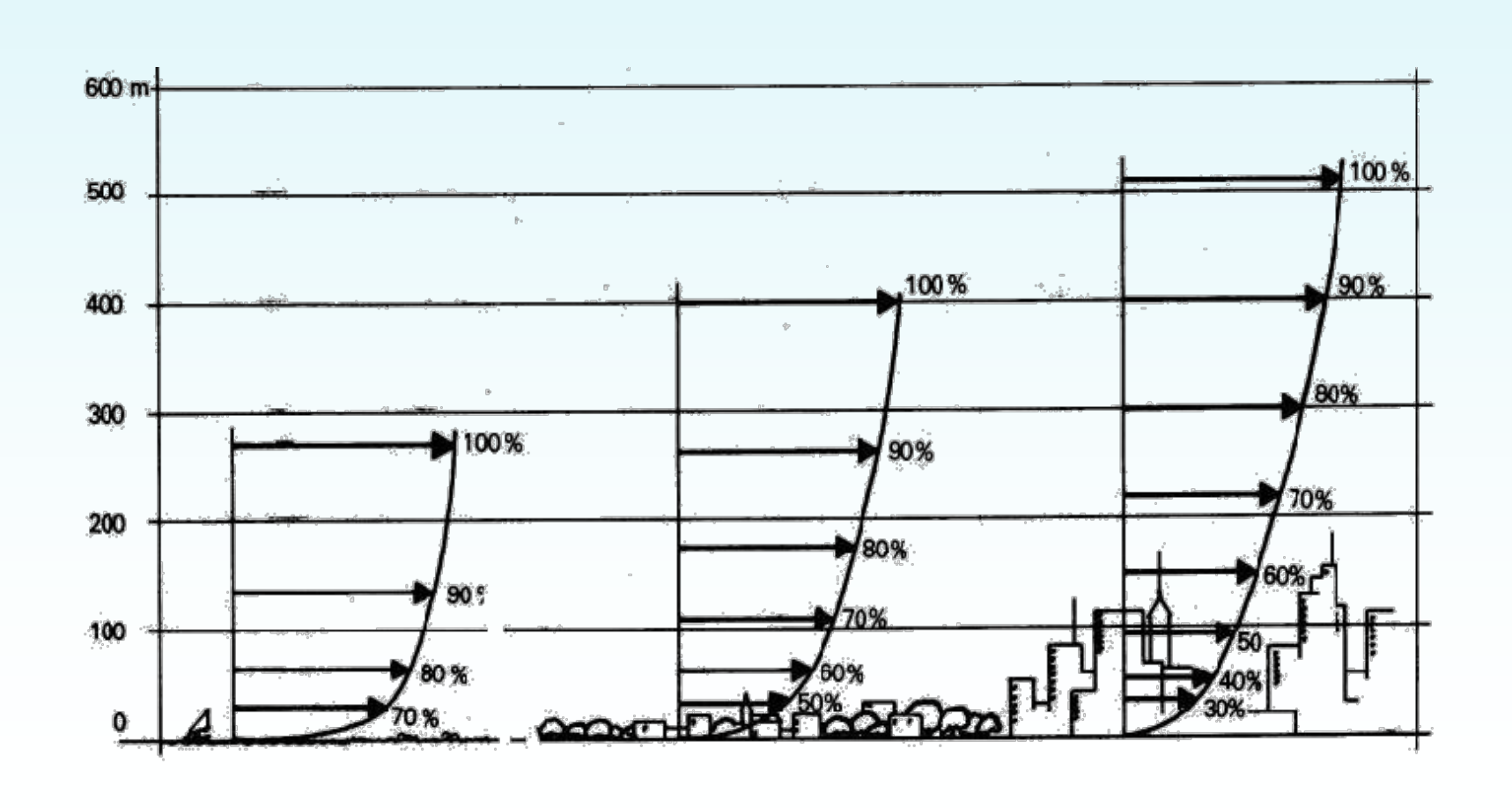


Sistemas de Generación Eólica

- Aerogenerador
 - ☐ Turbina Eólica
 - ☐ Generador Eléctrico
- Aerogenerador
 - **□ Baja Potencia** < 10 kW
 - **Mediana Potencia** 10 kW hasta 1 MG
 - ☐ Alta Potencia > 1 MW

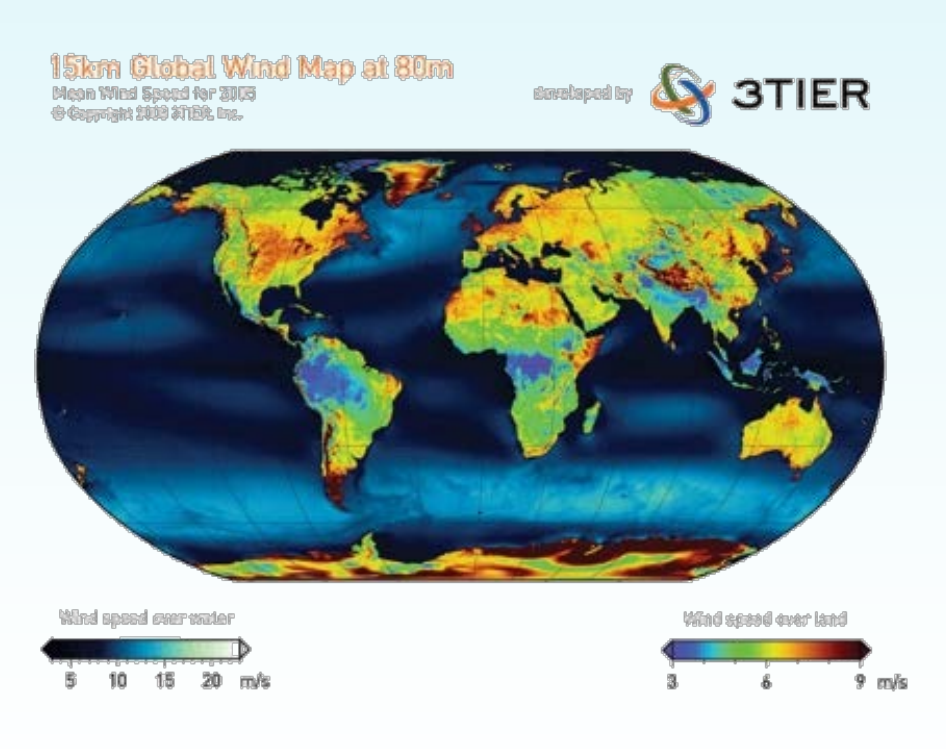


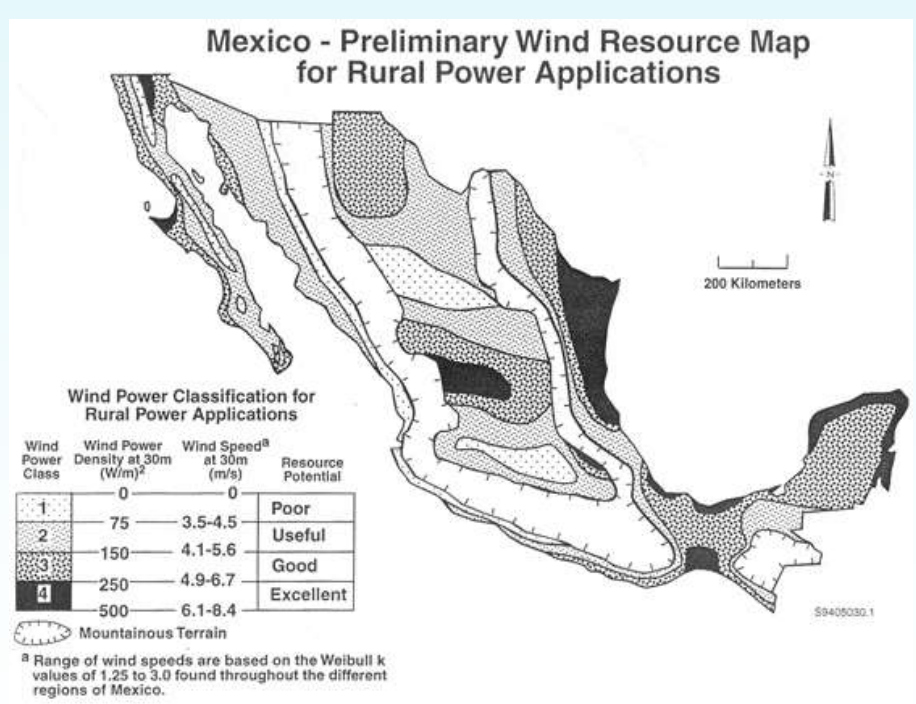
Perfil del Viento



Dr. Oscar Carranza Castillo

Distribución del Viento





Energía y Potencia del Viento

Energía del Viento

$$E_v = \frac{1}{2}mv^2$$

Potencia del aire en movimiento

$$P_v = \frac{dE_v}{dx} = \frac{1}{2}\dot{m}v_\omega^2$$

Flujo de masa del aire por segundo

$$\dot{m} = \rho A v_{\omega}$$

$P_v = \frac{1}{2} \rho A v_\omega^3$

Área que barren las palas de la turbina

$$A = \pi r^2$$

$$P_v = \frac{1}{2} \rho \pi r^2 v_\omega^3$$

Energía y Potencia del Viento

Ecuación de continuidad del flujo de aire

El viento al pasar por la turbina se frena, saliendo a una velocidad menor, pero siempre distinta de cero

Ley de Betz → solo se puede convertir el 59.25% de la energía cinética del viento en energía mecánica.

Límite de Betz

Potencia en la turbina

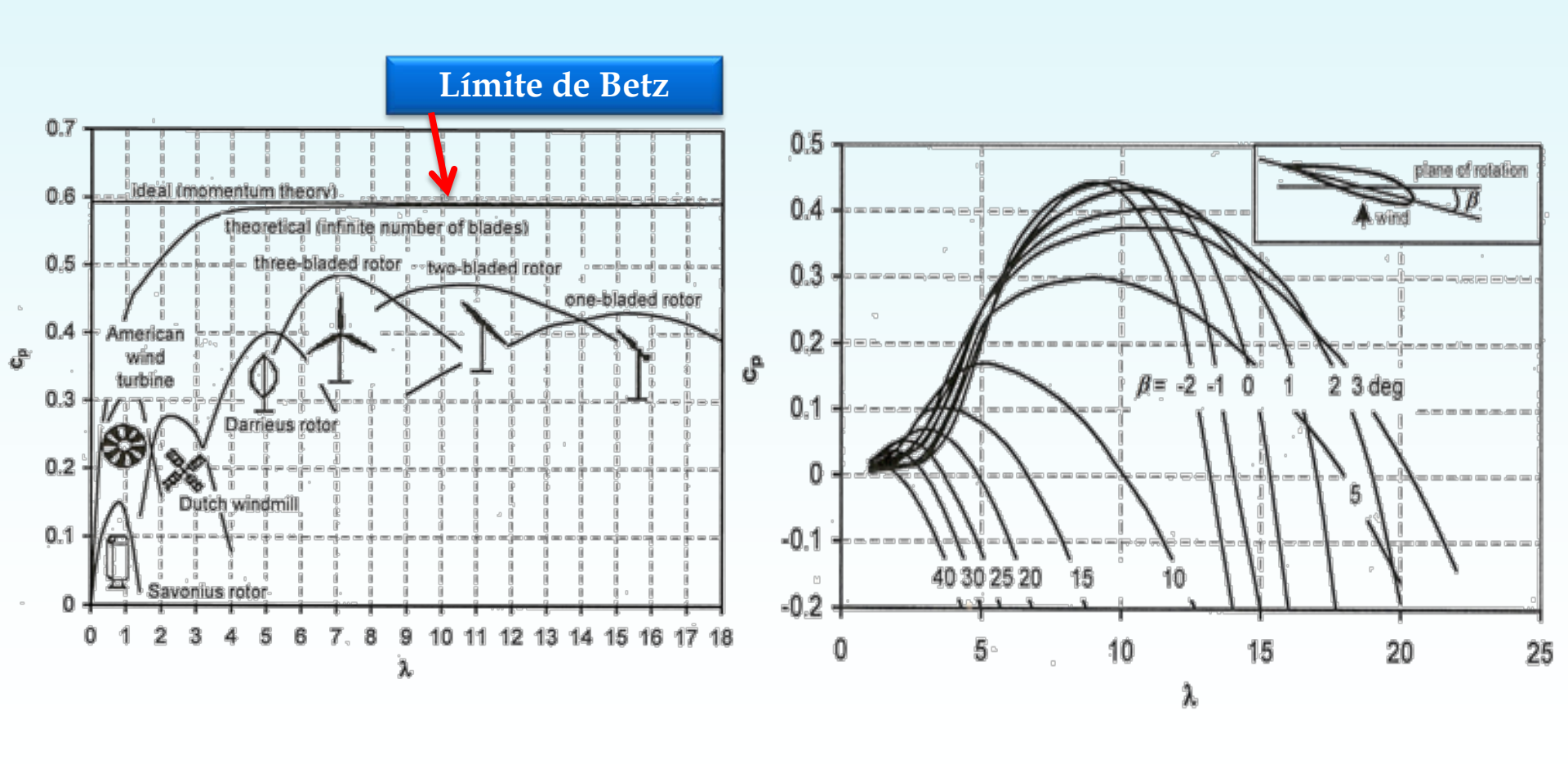
$$P_a = \frac{1}{2} C_p \rho \pi r^2 v_\omega^3$$

 C_p depende fundamentalmente de:

- Diseño mecánico y aerodinámico de la turbina
- Tipo de turbina eólica
- Velocidad específica o "Tip speed ration" (λ).
- Ángulo de paso de las aspas de la turbina (β).

$$\lambda = \frac{r\omega_m}{V_{\omega}}$$

Coeficiente de Potencia $C_p(\lambda, \beta)$



Torque y Coeficiente de Potencia

Torque en el eje de la turbina eólica

$$T_m = \frac{1}{2} C_t \rho \pi r^3 v_{\omega}^2$$

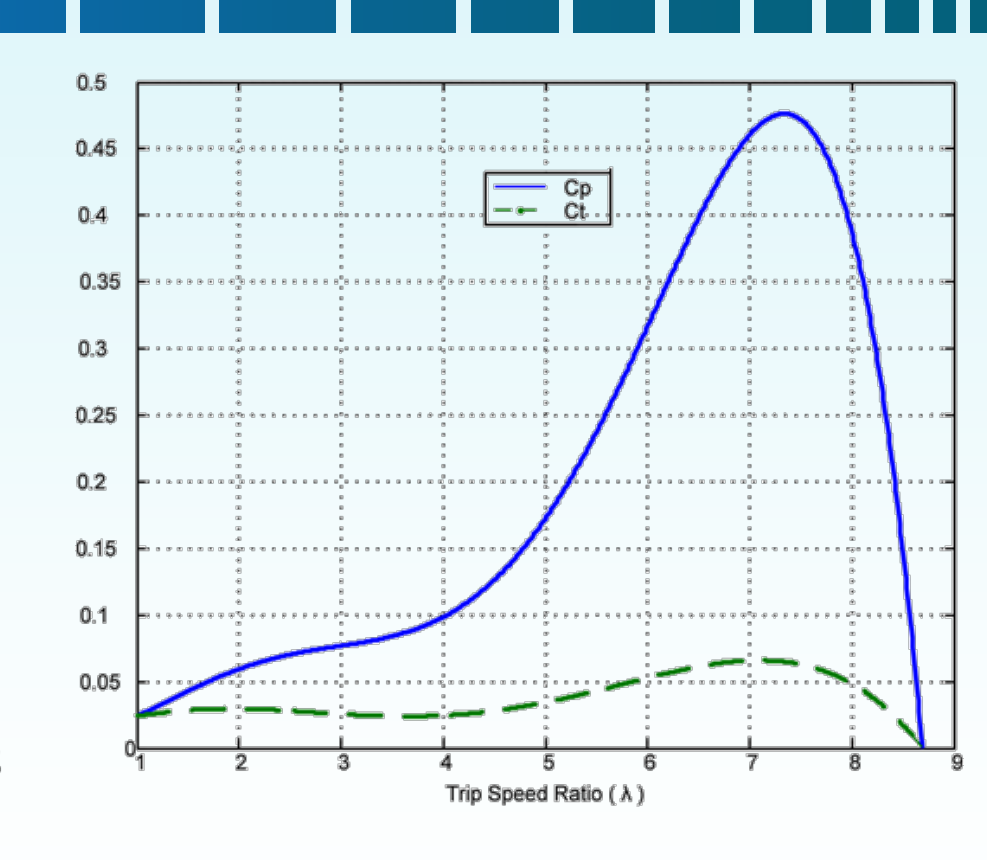
$$P_m = T_m \omega_m$$

$$C_p = \lambda C_t$$

$$C_p(\lambda) = a + b\lambda + c\lambda^2 + d\lambda^3 + e\lambda^4 + f\lambda^5$$

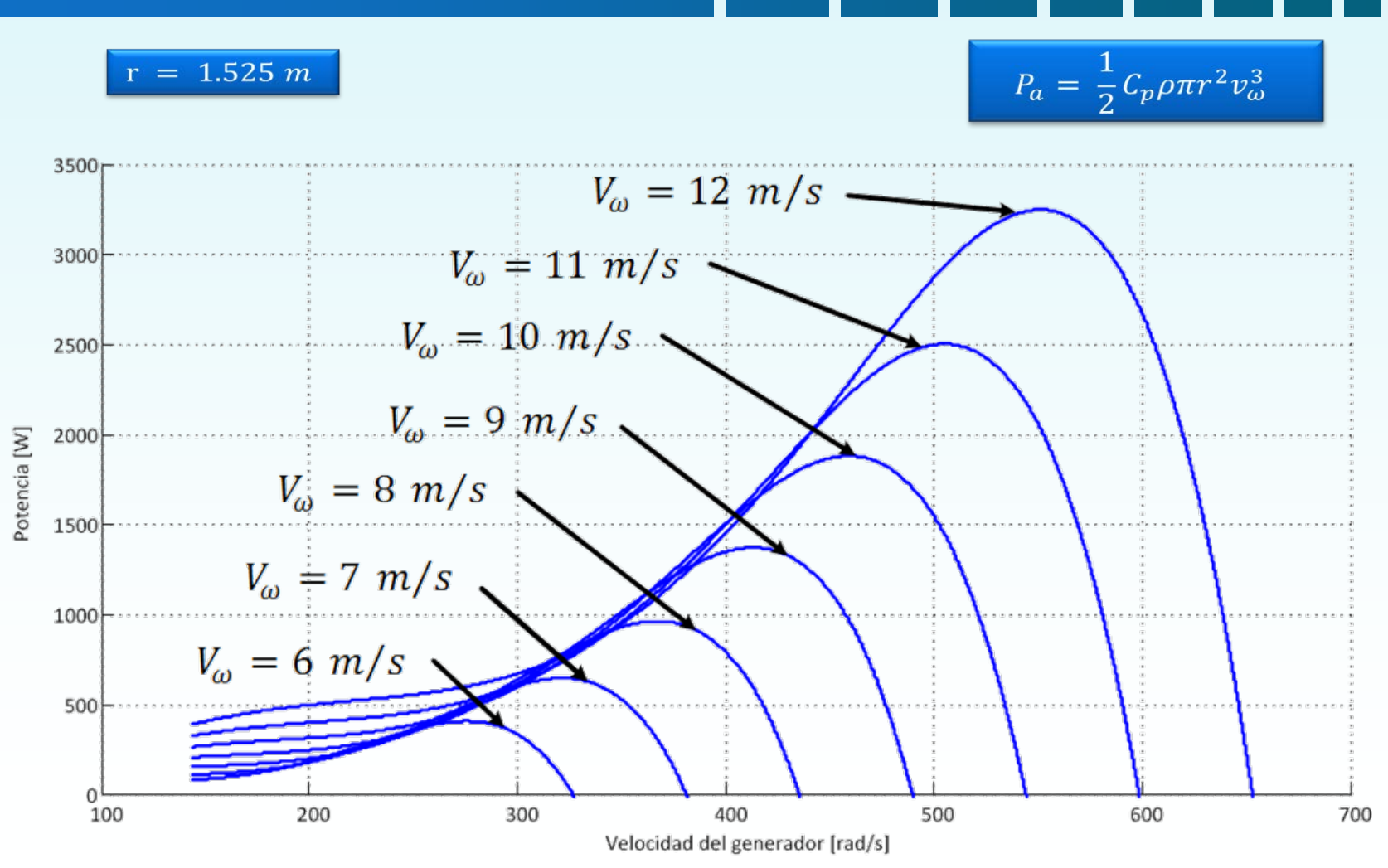
$$a = 0.043, b = 0.108, c = 0.146,$$

 $d = 0.0605, e = 0.0104, f = 0.0006$



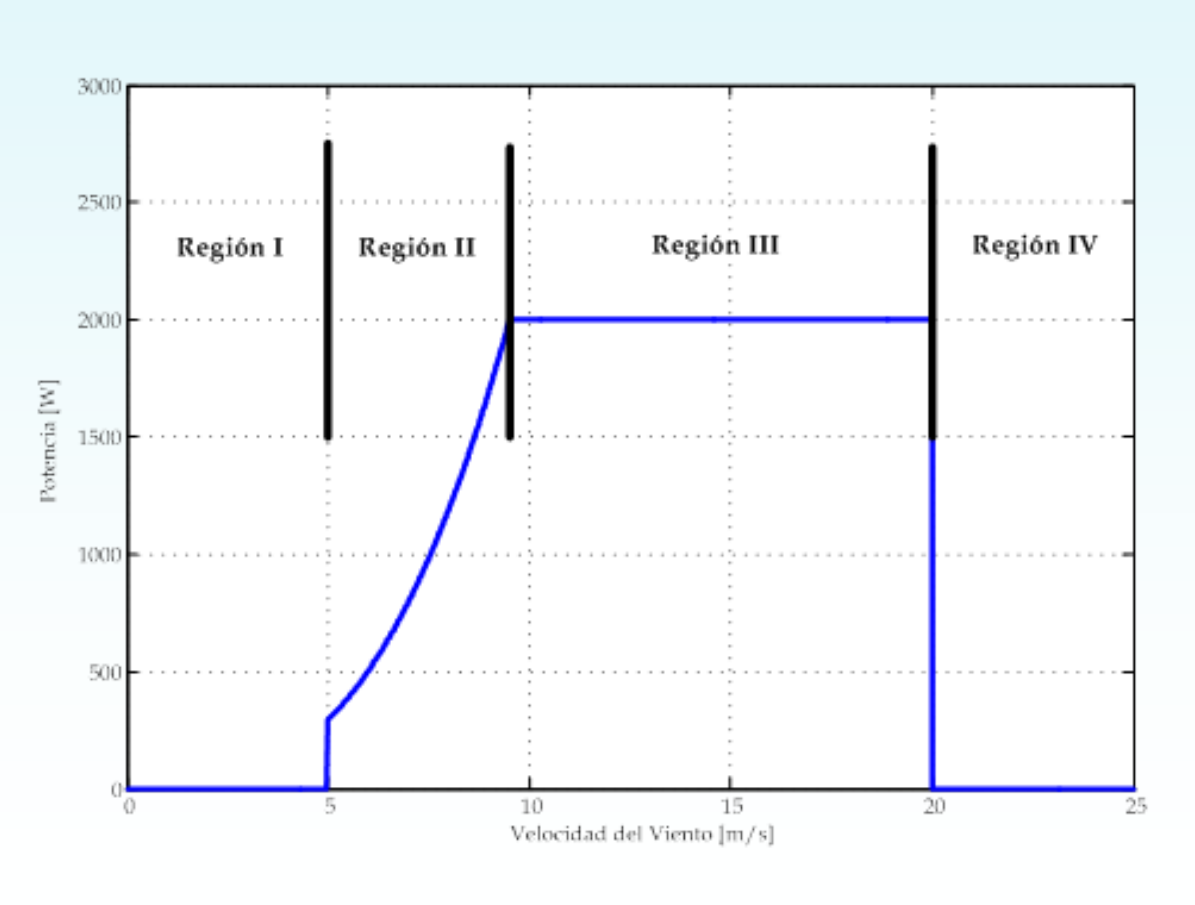
$$C_{p_{max}} = 0.4764$$
 cuando $\lambda = 7.34$
 $C_{t_{max}} = 0.06594$ cuando $\lambda = 7.095$

Potencia en la turbina



Dr. Oscar Carranza Castillo

Potencia del Sistema de Generación Eólica

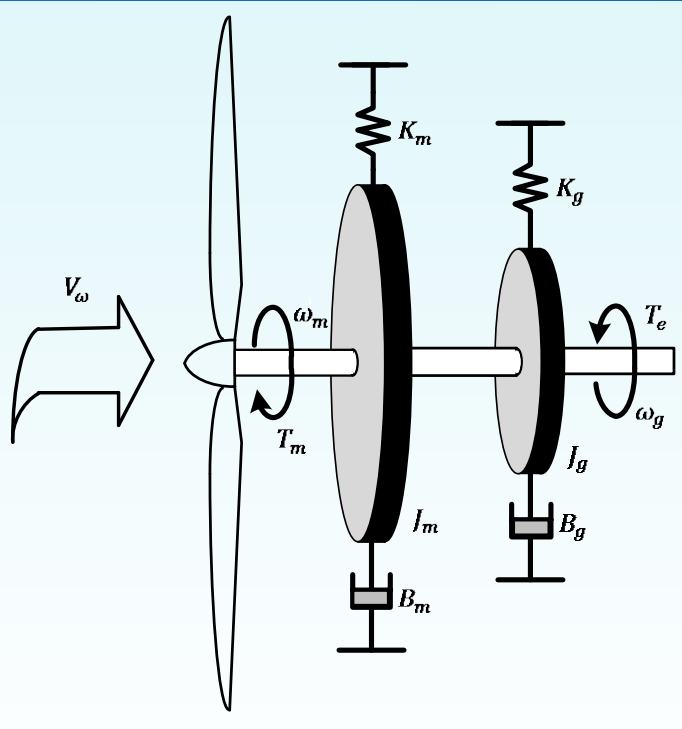


- Región I: Turbina detenida
- Región II: Extracción de Máxima Potencia
- Región III: Limitación de Potencia
- Región IV: TurbinaDetenida

Estrategia de Control del Sistema de Generación Eólica

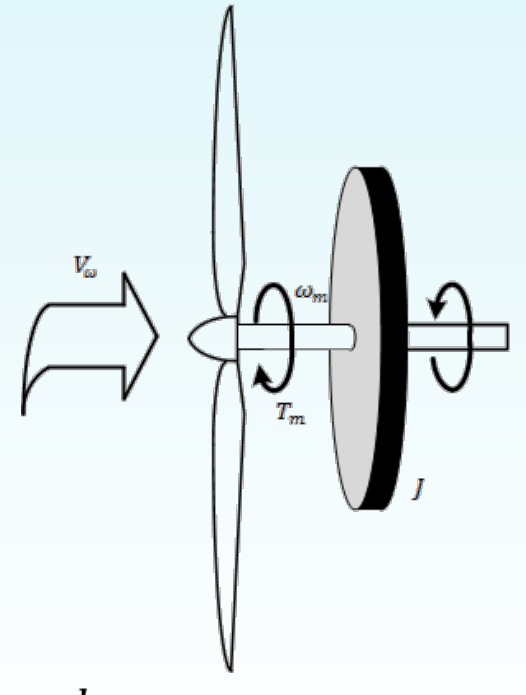
- Velocidad fija, Pitch fijo. Regulación pasiva
- ➤ Velocidad fija, Pitch variable. *Control del ángulo de paso* (pitch angle control) y *control de parada activa* (active stall)
- Velocidad variable, Pitch fijo. Regulación pasiva y Punto de operación (C_{pmax})
- Velocidad variable, Pitch variable. Control del ángulo de paso y control de parada activa

Modelo del Sistema Mecánico



$$J_m \frac{d\omega_m}{dt} = T_m - T_e - K_m \omega_m - B_m \frac{d\omega_m}{dt}$$

$$J_e \frac{d\omega_g}{dt} = T_m - T_e - K_g \omega_g - B_m \frac{d\omega_g}{dt}$$



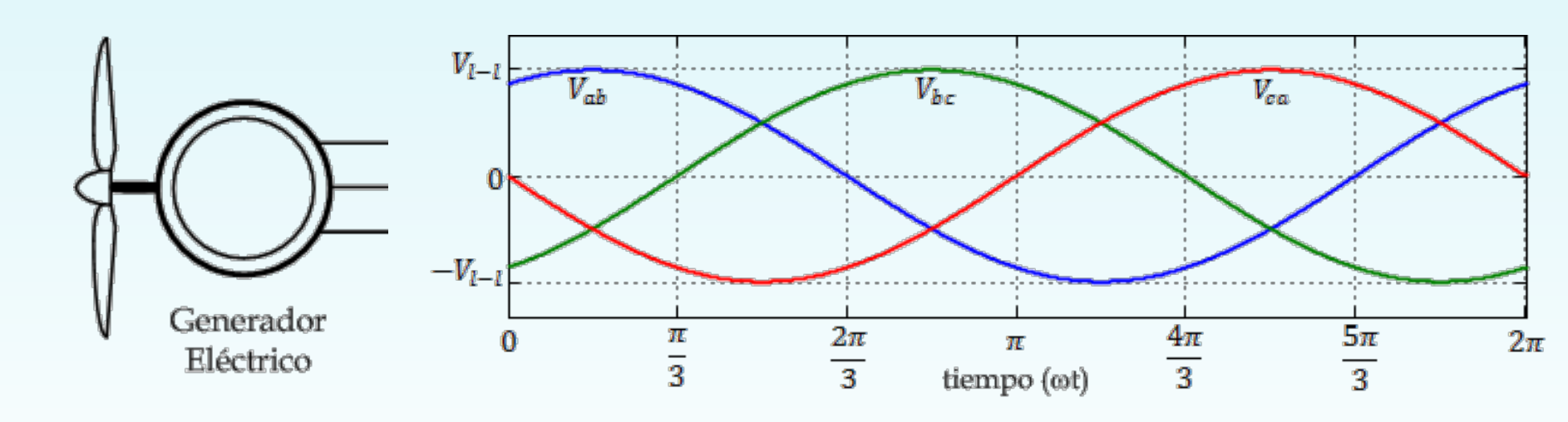
$$J\frac{d\omega_m}{dt} + B\omega_m = T_m - T_e$$

Generador Eléctrico

Tipos de generadores

- Generador de inducción (GI)
- Generador de inducción de doble bobinado (GIDB)
- Generador síncrono (GS)
- Generador síncrono de imanes permanentes (GSIP)

Generador Eléctrico



El voltaje y la frecuencia del generador depende de la velocidad del viento

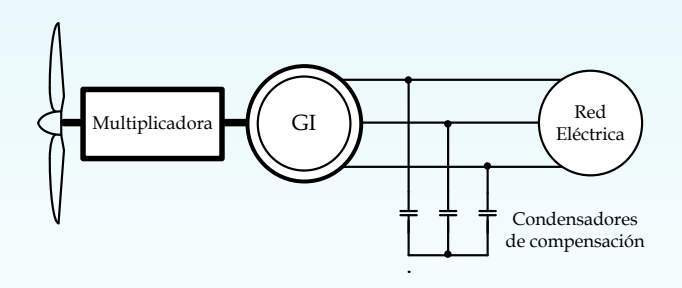
Características del GSIP

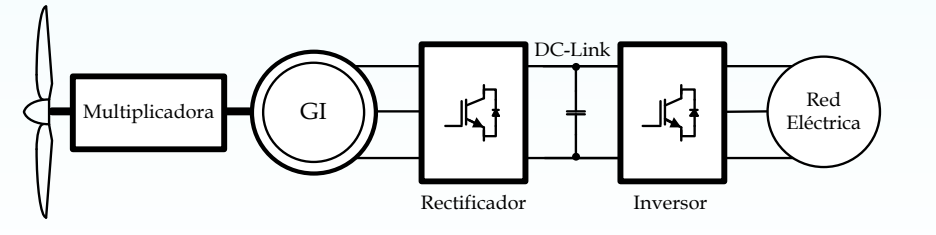
$$\omega_e = \frac{n_p}{2} \, \omega_m$$

$$E_{A_{pico}} = K_{fem}\omega_m$$

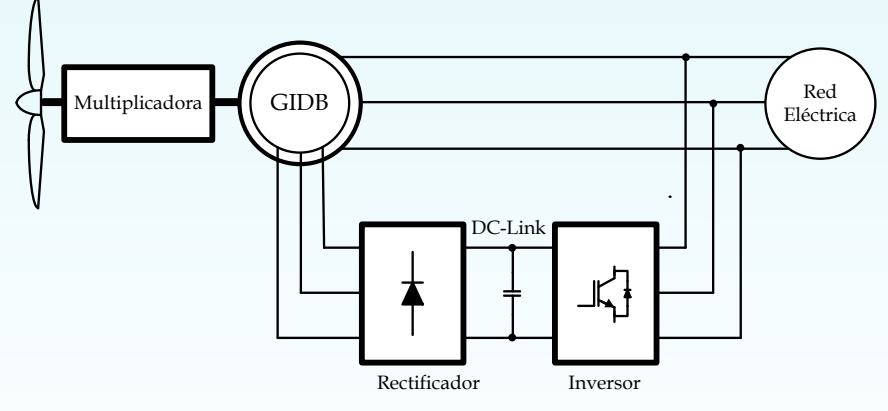
Sistemas de Generación Eólica

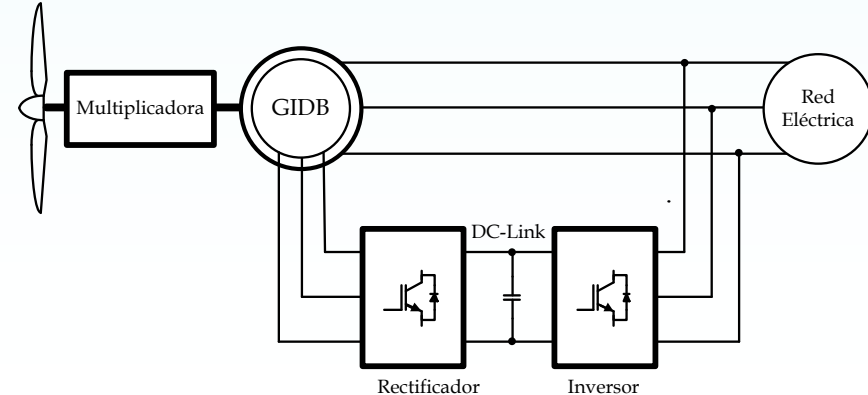
Generador de Inducción





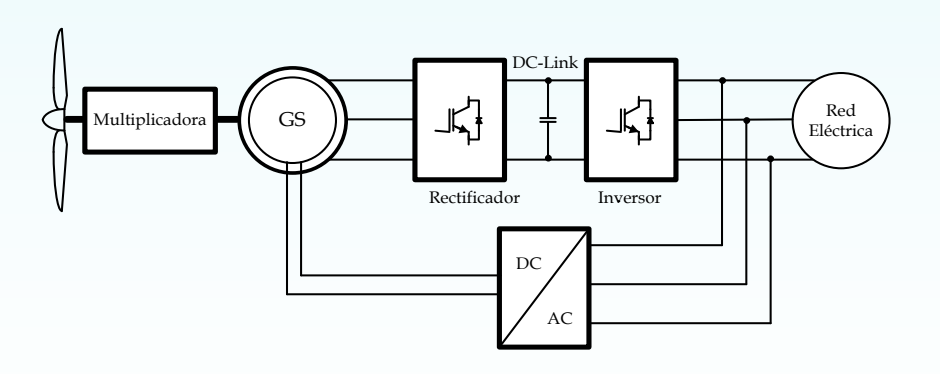
Generador de inducción de doble bobinado



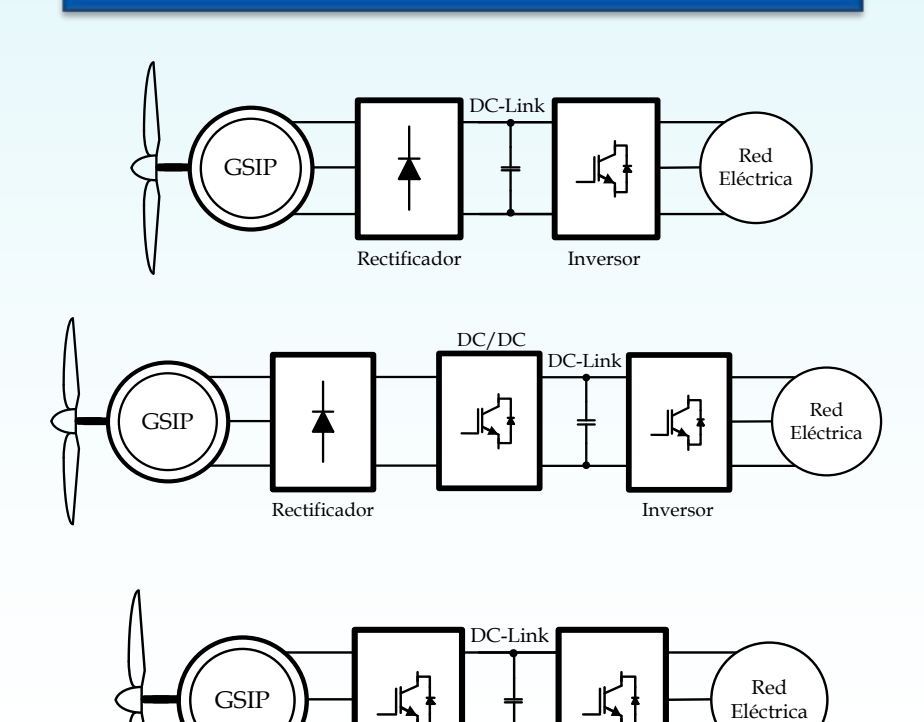


Sistemas de Generación Eólica

Generador síncrono

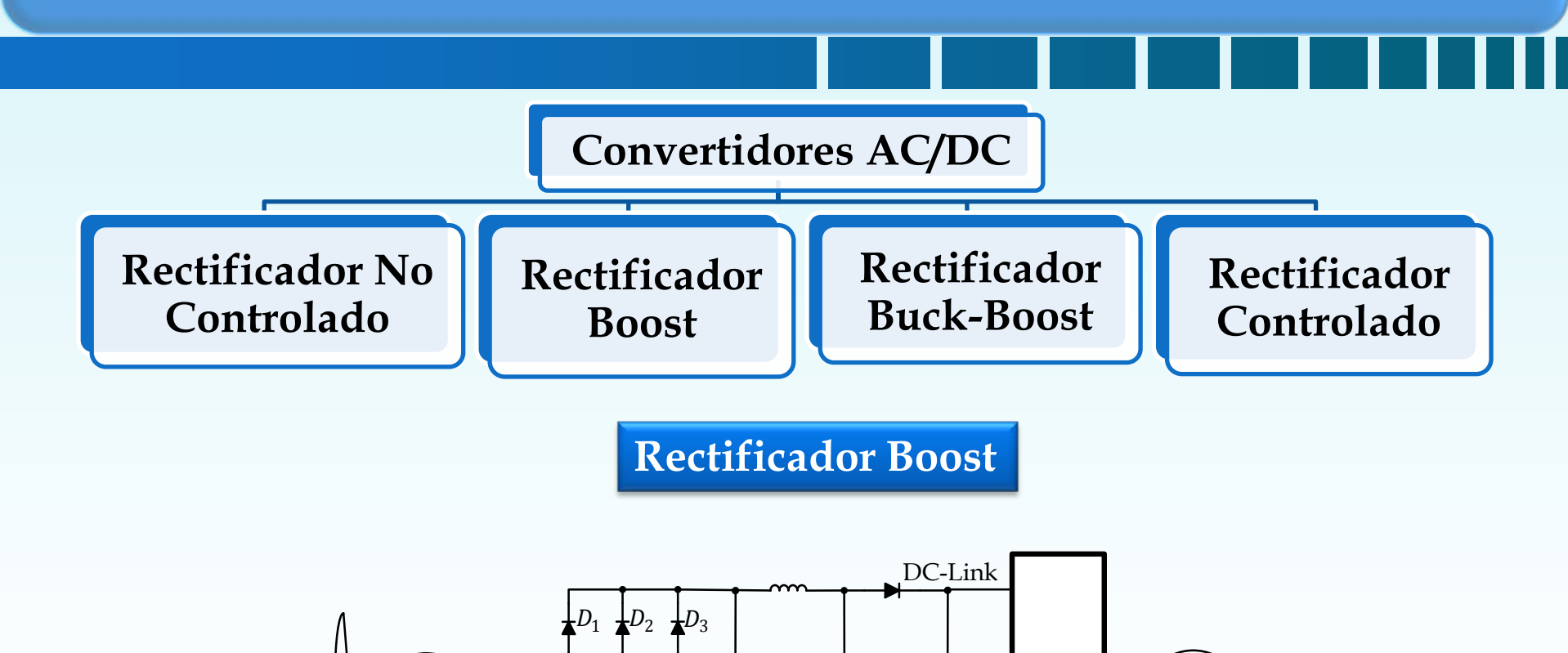


Generador Síncrono de Imanes Permanentes



Inversor

Convertidores en SGE con GSIP



 $C_{in} \neq$

Rectificador

No controlado

GSIP

Red

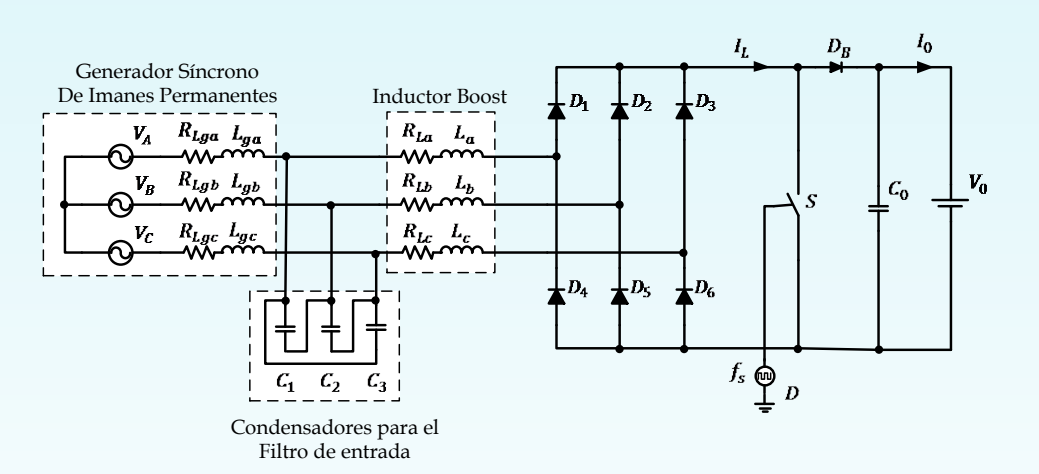
Eléctrica

 $\dagger C_0$

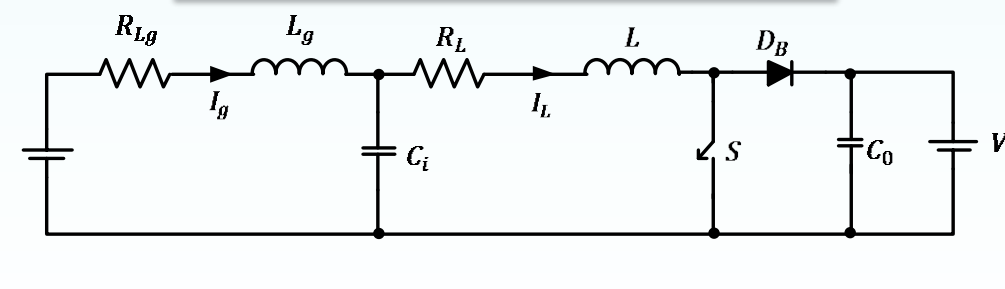
Inversor

Convertidor Boost

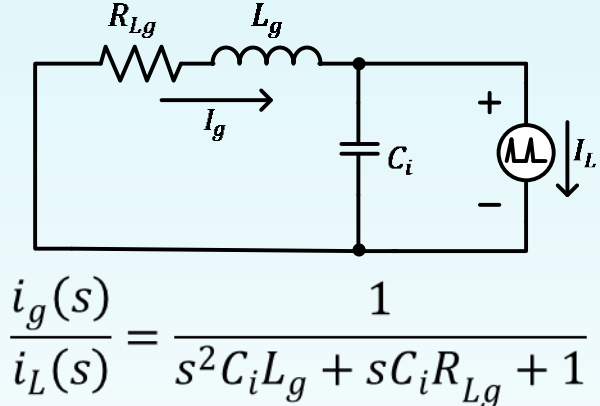
Rectificador Boost Trifásico Con filtro de entrada LCL

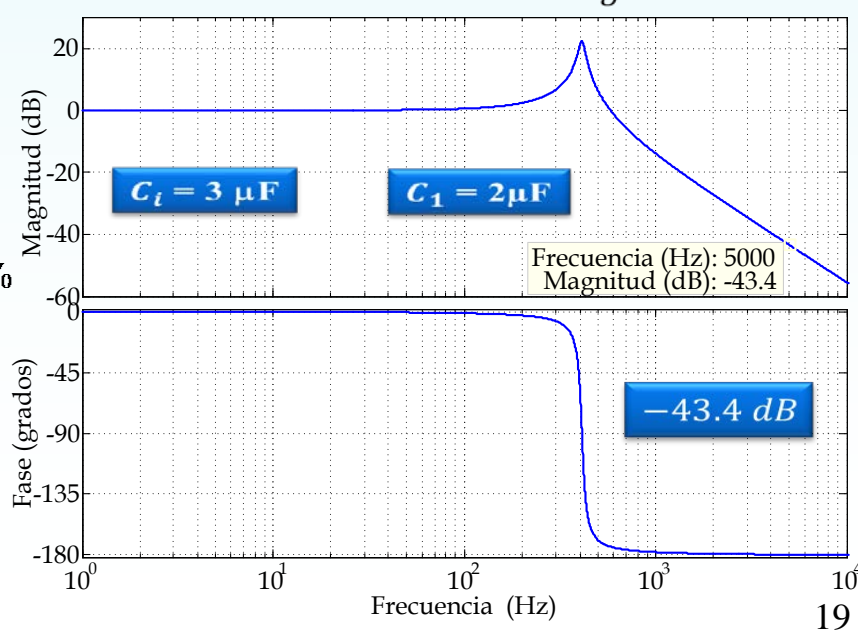


Considerando solo dos fases



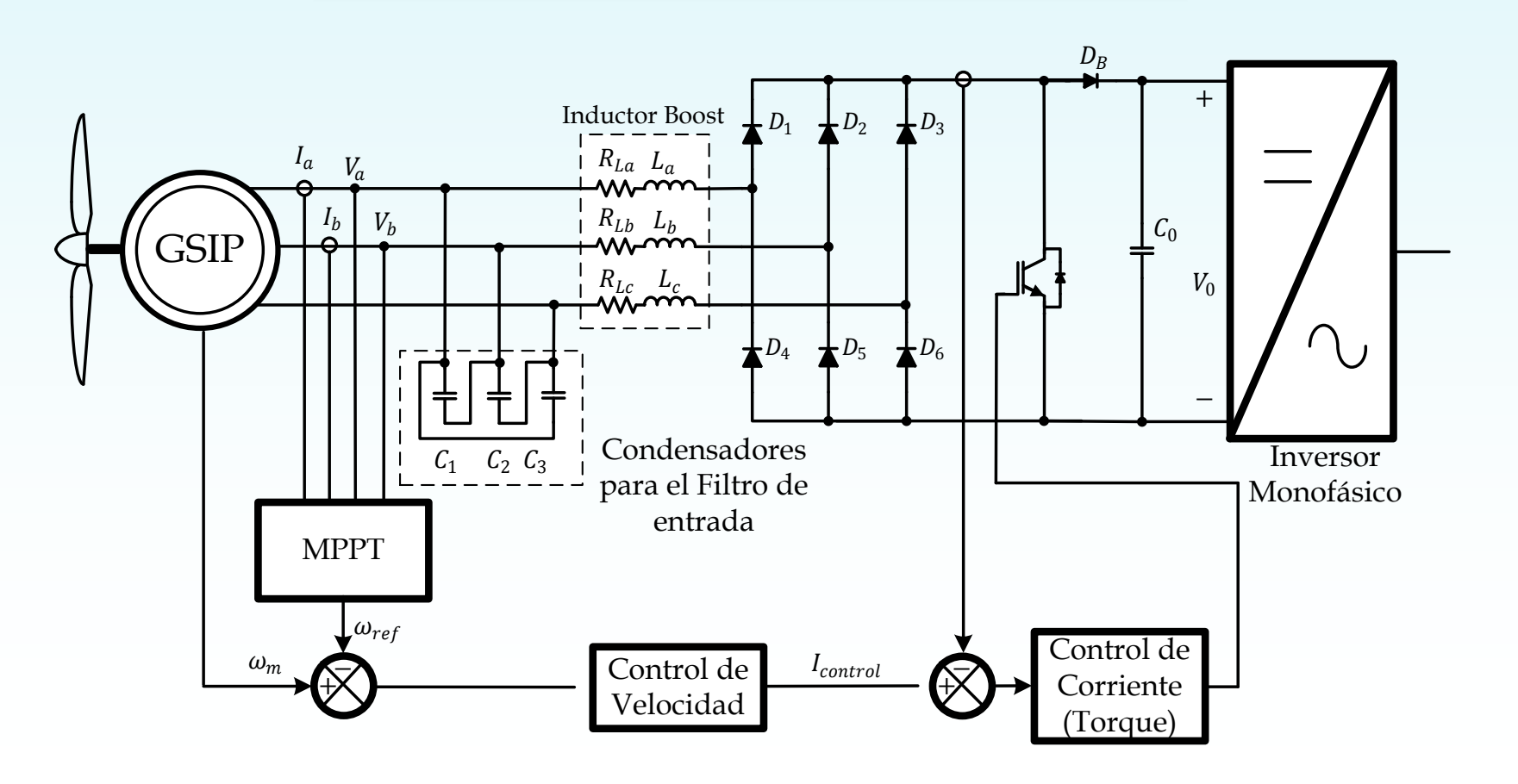
$$C_i = \frac{3}{2}C_1$$



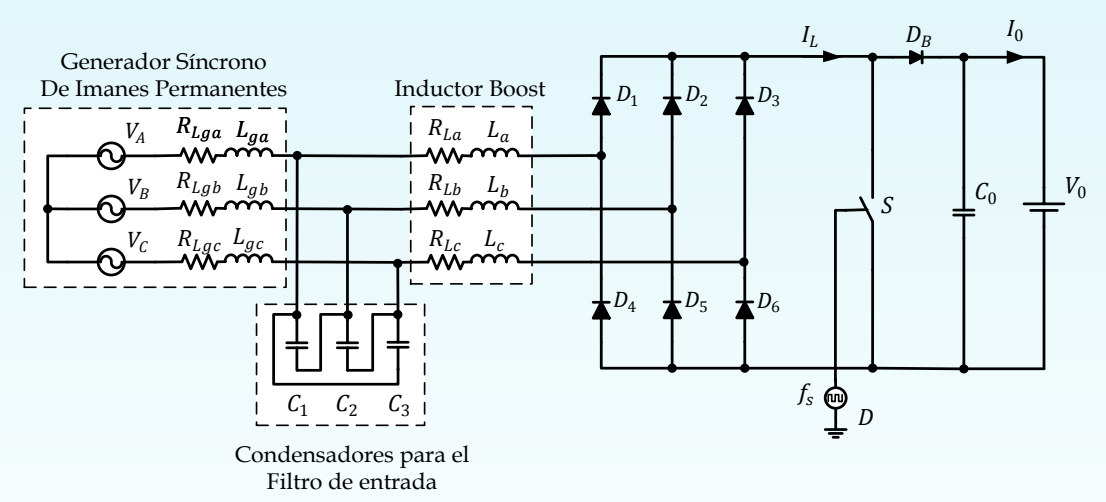


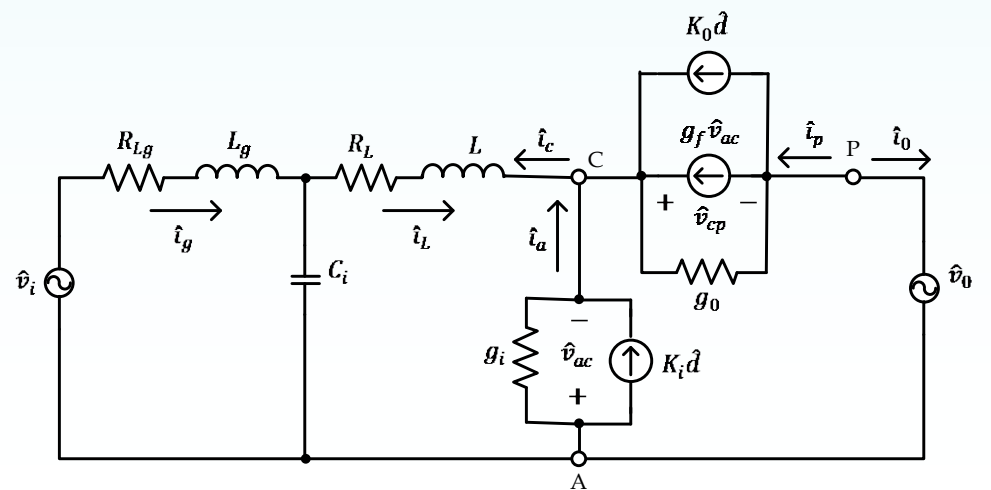
Estructuras de Control del Sistema de Generación Eólica

Estructura de Control de Velocidad



Modelo del Rectificador Boost Trifásico Con filtro de entrada LCL





Parámetros

$$g_i = \frac{D^2 T_s}{2L}$$

$$g_o = \frac{2LP_o^2}{D^2V_o^2T_s[-V_i + I_L(R_L + R_{Lg})]^2}$$

$$g_f = -\frac{2P_o}{[-V_i + I_L(R_L + R_{Lg})]V_o}$$

$$K_i = \frac{DT_s \left[-V_i I_L (R_L + R_{Lg}) \right]}{L}$$

$$K_o = -\frac{2P_o}{DV_o}$$

Relación de la corriente del inductor boost en función del ciclo de trabajo

$$G_{id}(s) = \frac{\hat{i}_L(s)}{\hat{d}(s)} \bigg|_{\hat{v}_i = 0, \hat{v}_0 = 0}$$

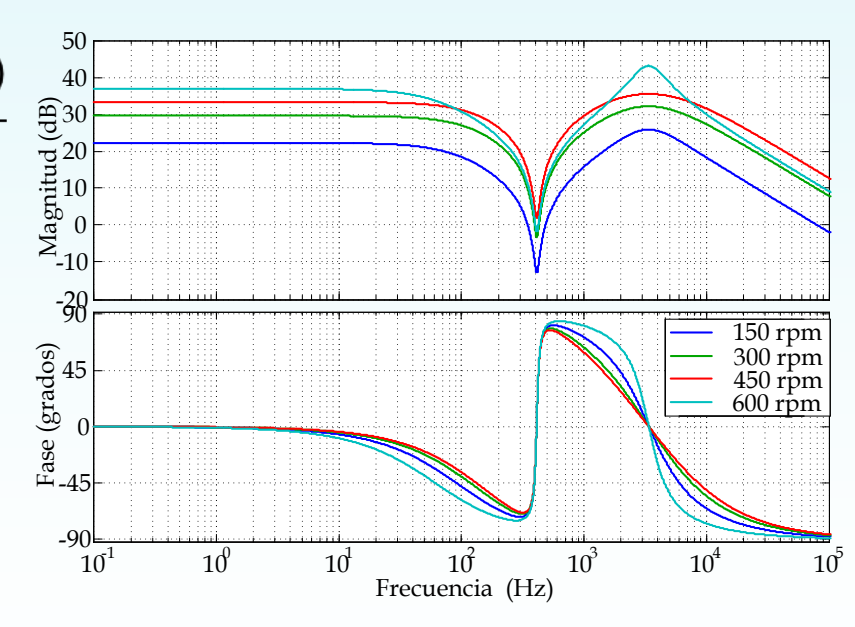
$$G_{id}(s) = \frac{\hat{i}_L(s)}{\hat{d}(s)} = \frac{-\left(s^2C_iL_g + sC_iR_g + 1\right)(K_i + K_o)}{s^3B_3 + s^2B_2 + sB_1 + B_0}$$

$$B_3 = C_i L_g L \left(g_i + g_o + g_f \right)$$

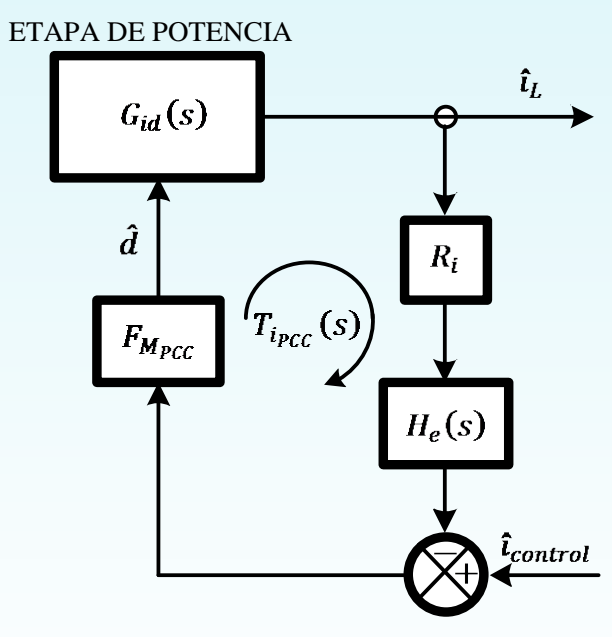
$$B_2 = C_i \left[L_g + \left(g_i + g_o + g_f \right) \left(LR_{L_g} + L_g R_L \right) \right]$$

$$B_1 = \left[C_i R_{L_g} + \left(g_i + g_o + g_f\right) \left(L_g + L + C_i R_L R_{L_g}\right)\right]$$

$$B_0 = \left(g_i + g_o + g_f\right) \left(R_{L_g} + R_L\right) + 1$$



Control Modo Corriente Pico

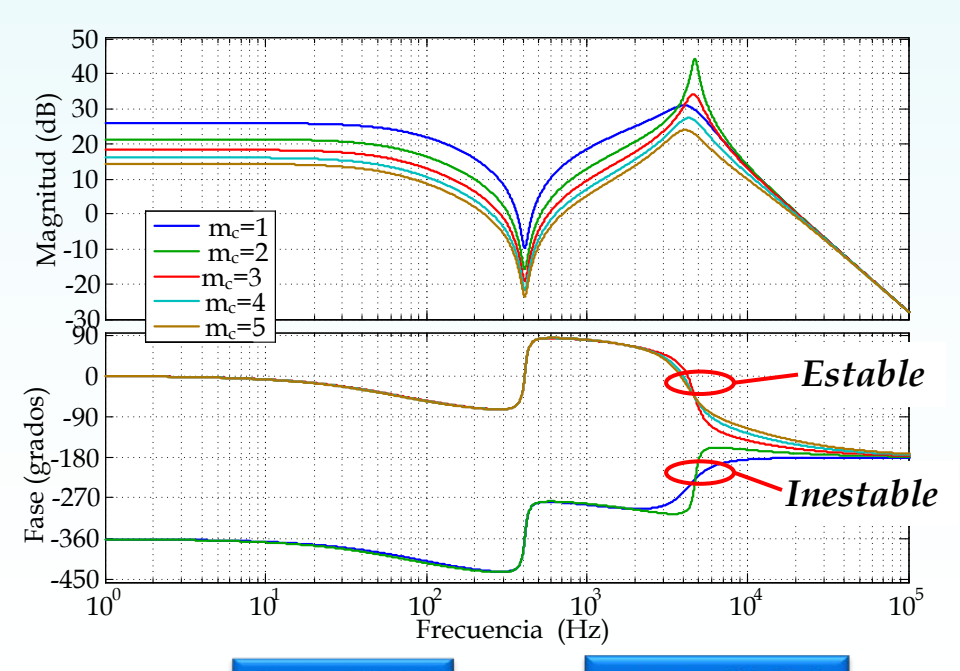


$$H_e(s) = 1 + \frac{s}{\omega_z Q_z} + \frac{s^2}{\omega_z^2} \quad s_n = \frac{V_i}{L} R_i$$

$$F_{M_{PCC}} = \frac{1}{(S_n + S_e)T_s} \quad m_c = 1 + \frac{S_e}{S_n}$$

$$T_{i_{PCC}}(s) = G_{id}(s)H_e(s)R_iF_{M_{PCC}}$$

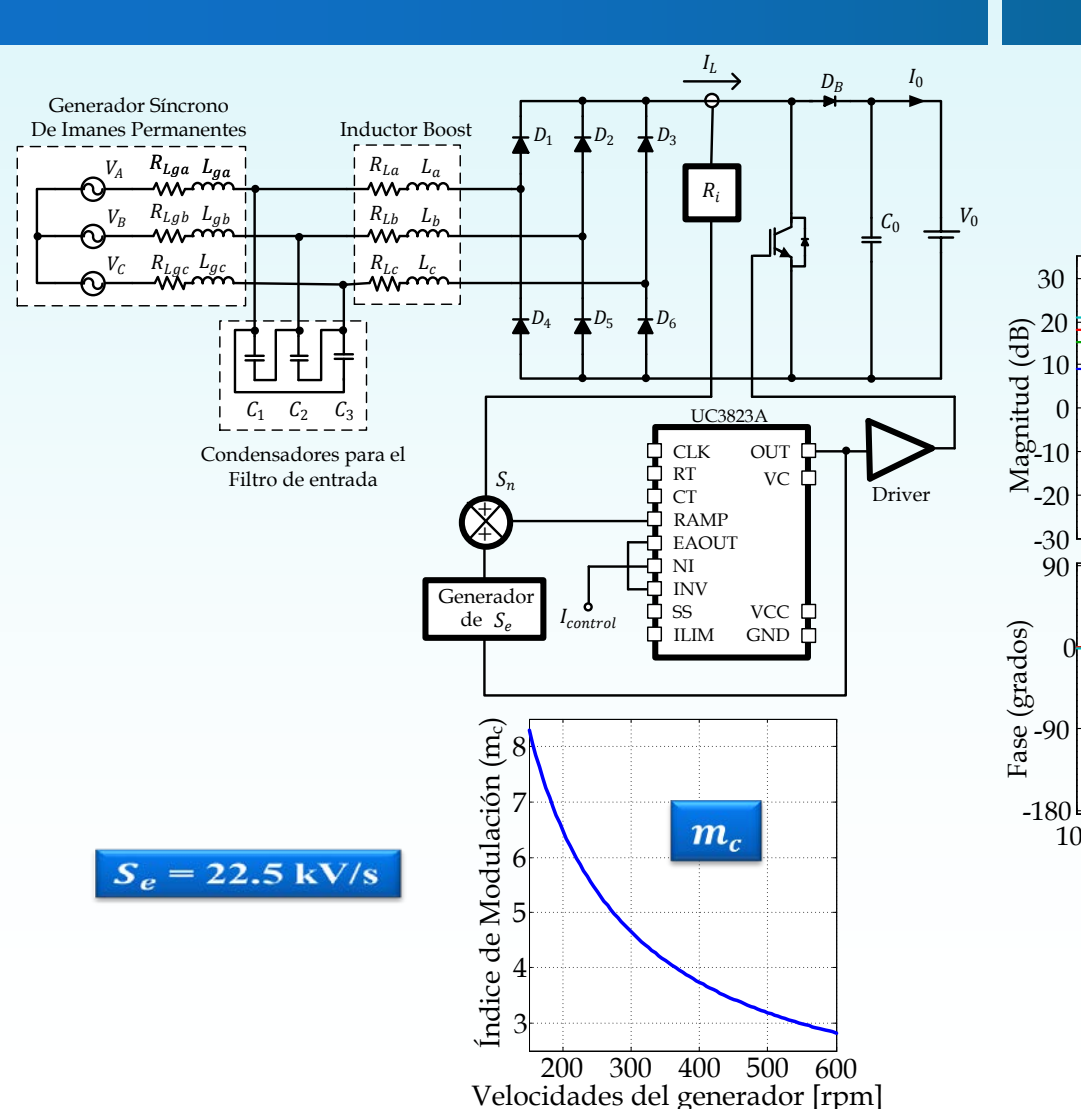
$$G_{ic}(s) = \frac{G_{id}(s)F_{M_{PCC}}}{1 + T_{i_{PCC}}(s)}$$

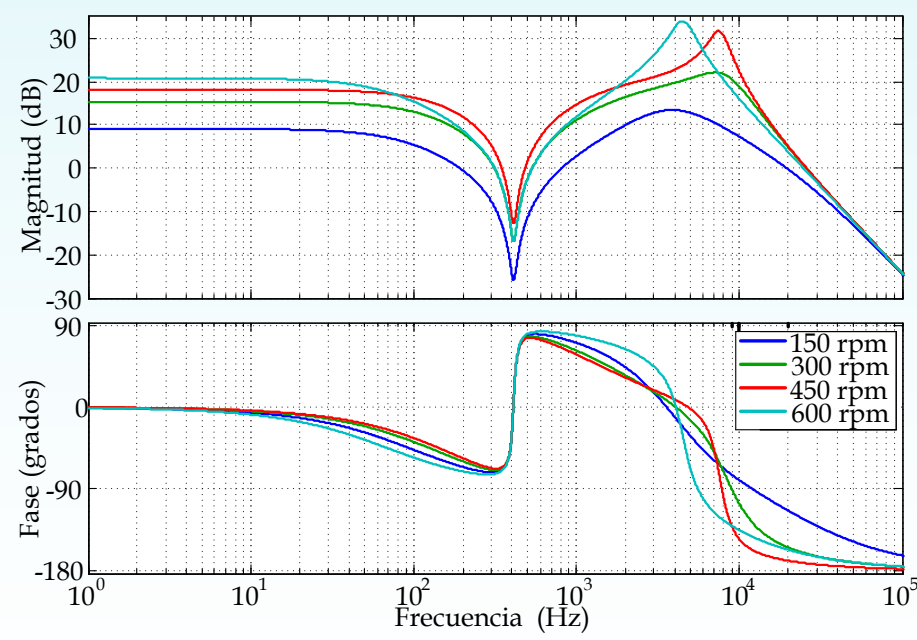


 $R_i = 0.015$

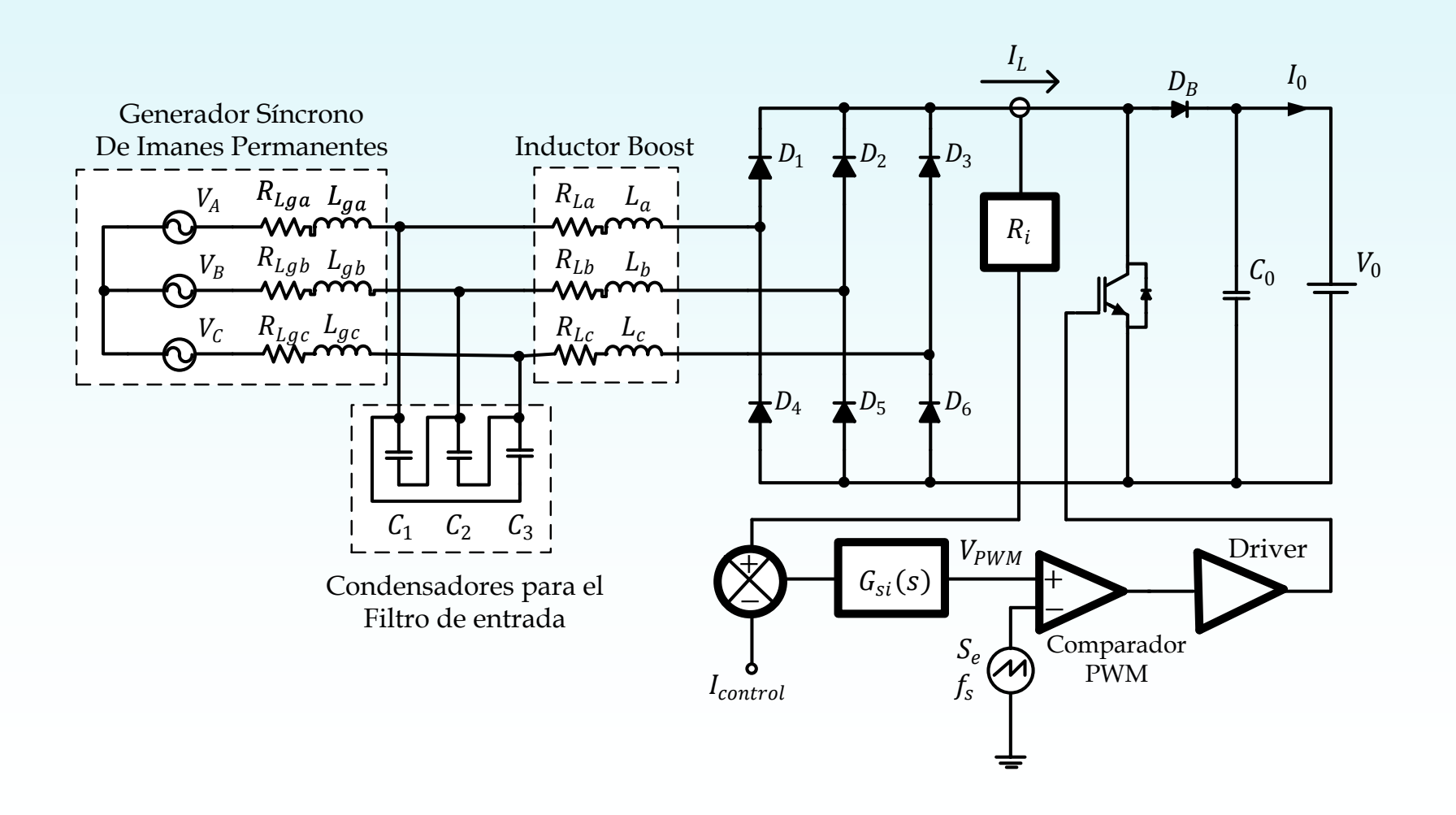
 $m_c \geq 2.24$

Control Modo Corriente Pico

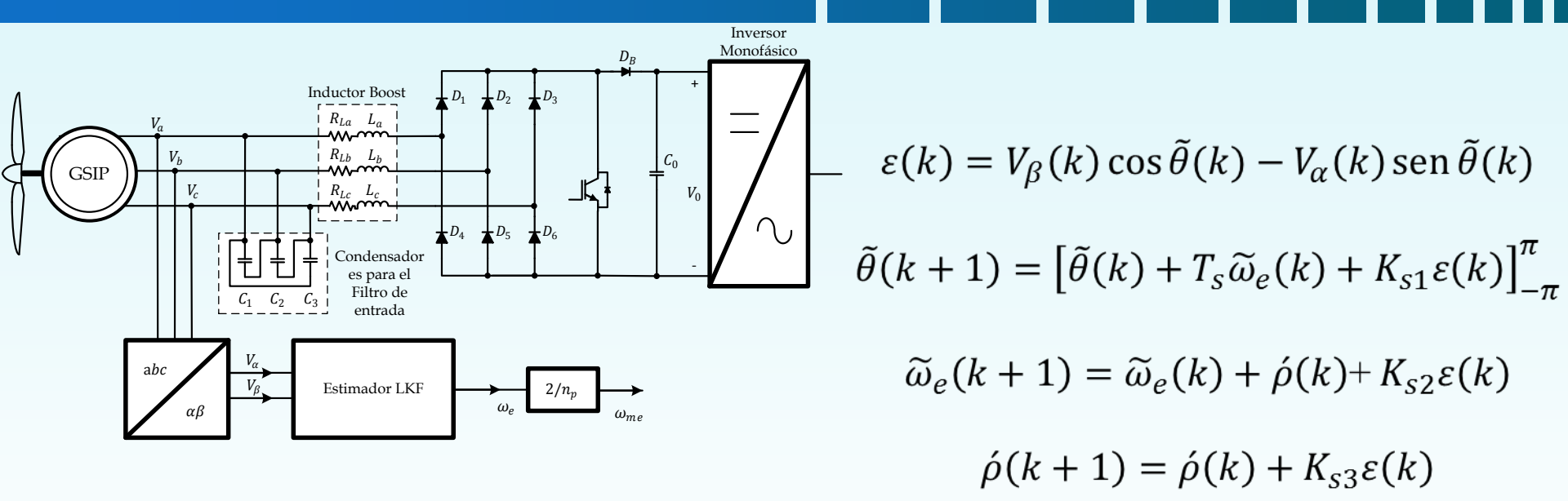




Control Modo Corriente Media Sensado en el inductor de potencia



Estimador empleando Filtro Lineal de Kalman



$$\theta(k+1) = \theta(k) + T_s \omega_e(k)$$

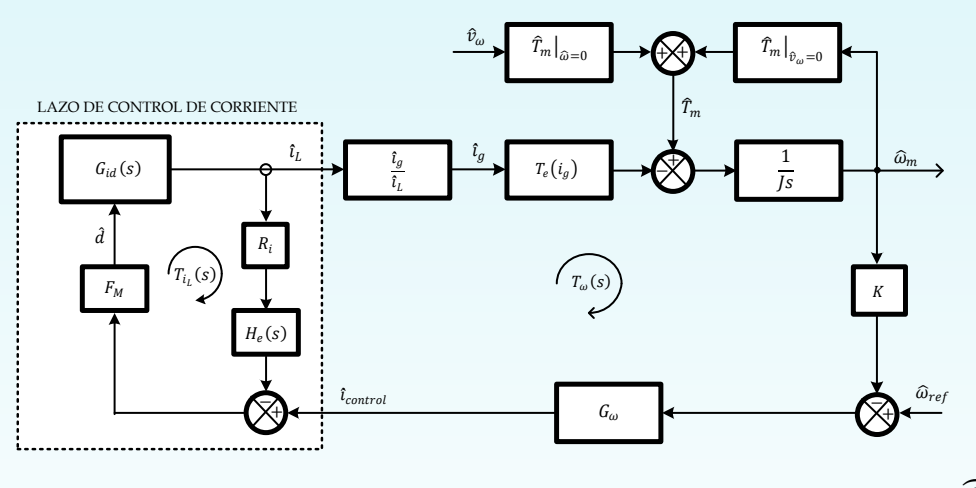
$$\omega_e(k+1) = \omega_e(k) + \dot{\rho}(k)$$

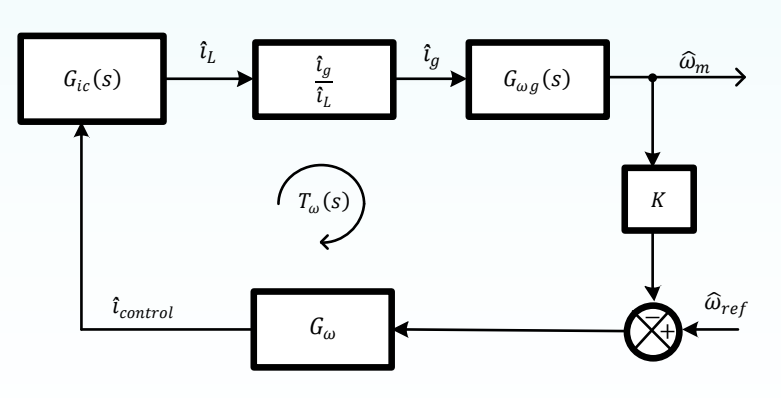
$$\dot{\rho}(k+1) = \dot{\rho}(k) + \rho(k)$$

$$K_{s1}, K_{s2} \text{ y } K_{s3} \rightarrow \text{DLQE} (A_s, G_s, H_s, Q_s, R_s)$$

 $oldsymbol{\delta}$ permite ajustar el rechazo al ruido

Lazo de Velocidad



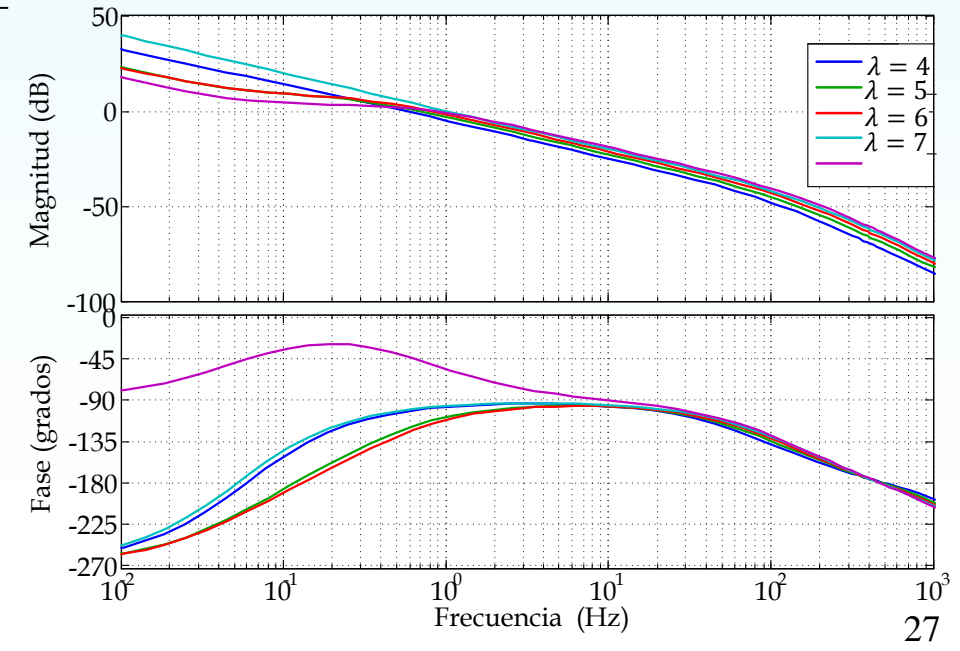


$$G_{\omega c}(s) = \frac{i_L(s)}{i_c(s)} \cdot \frac{i_g(s)}{i_L(s)} \cdot \frac{\omega_m(s)}{i_g(s)}$$

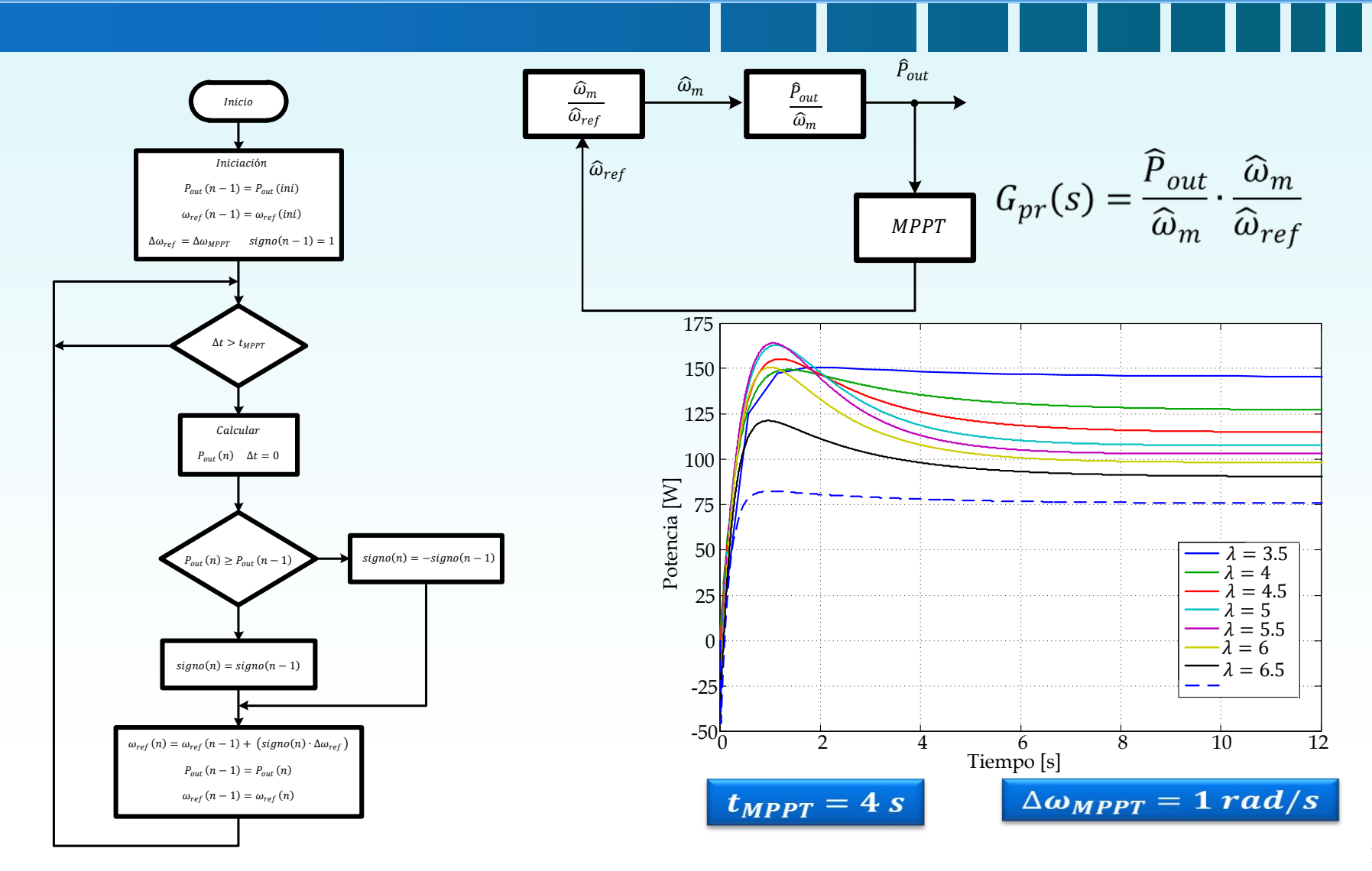
$$T_{\omega}(s) = G_{\omega c}(s) K G_{\omega}(s)$$

$$G_{\omega r}(s) = \frac{\widehat{\omega}_m}{\widehat{\omega}_{ref}} = \frac{G_{\omega c}(s)G_{\omega}}{1 + T_{\omega}}$$

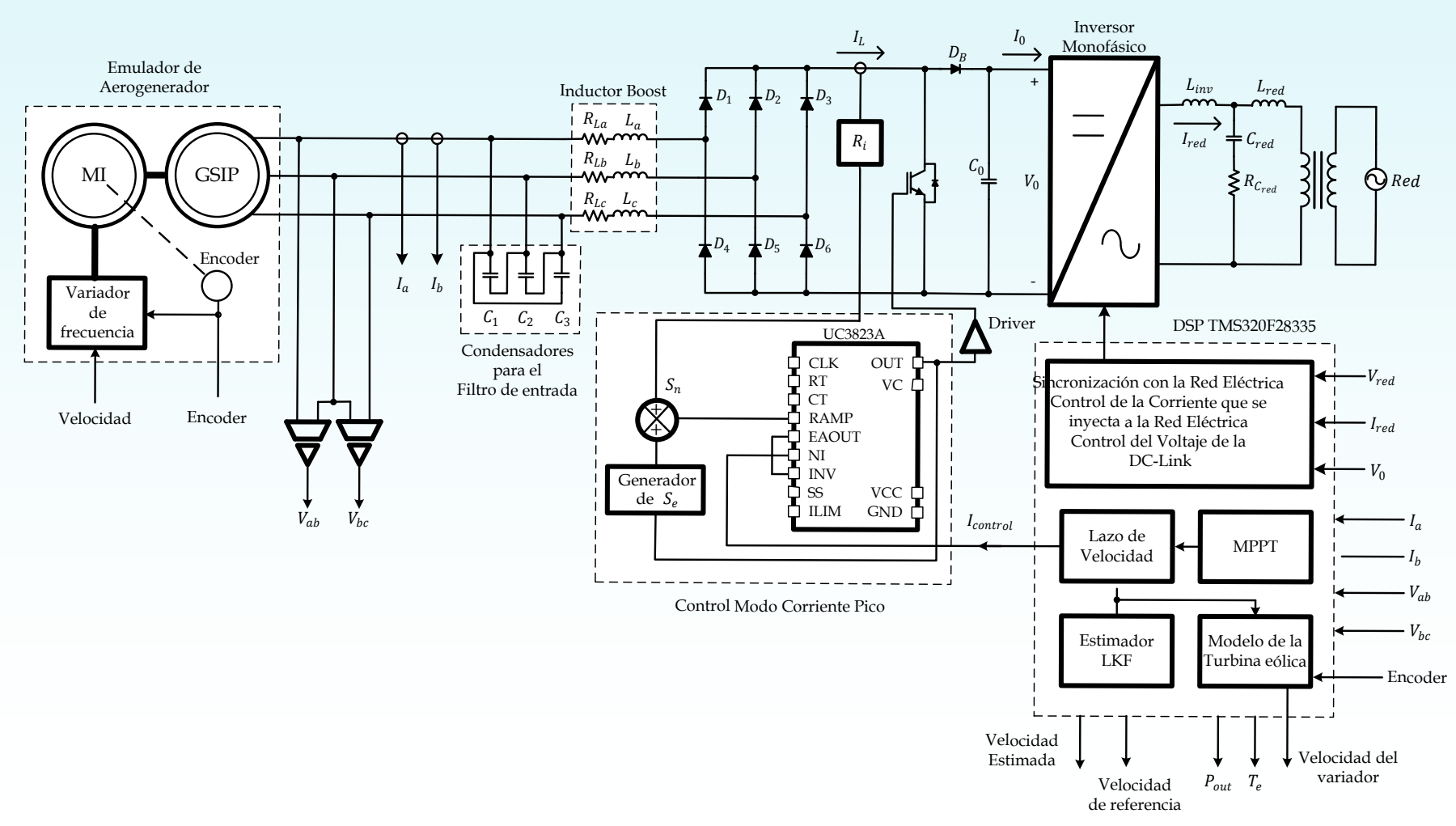
 $K_{p\omega}$ =-0.05777 y $K_{i\omega}$ =-0.0187752 rad/s



Algoritmo de Búsqueda del Punto de Máxima Potencia del SGE



Sistema de Generación Eólica Experimental



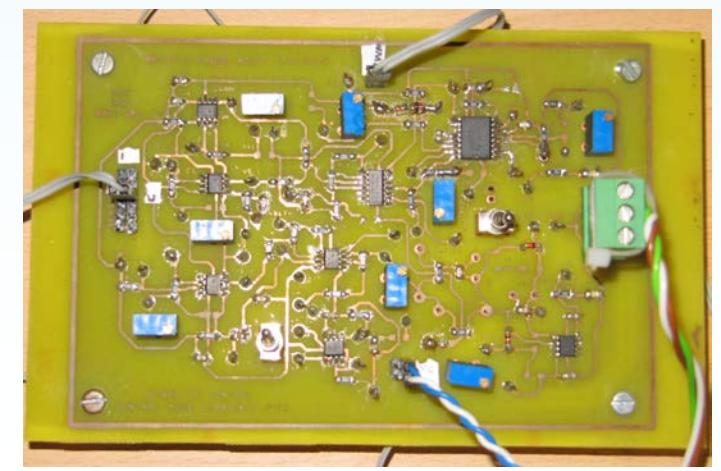
Prototipo Experimental



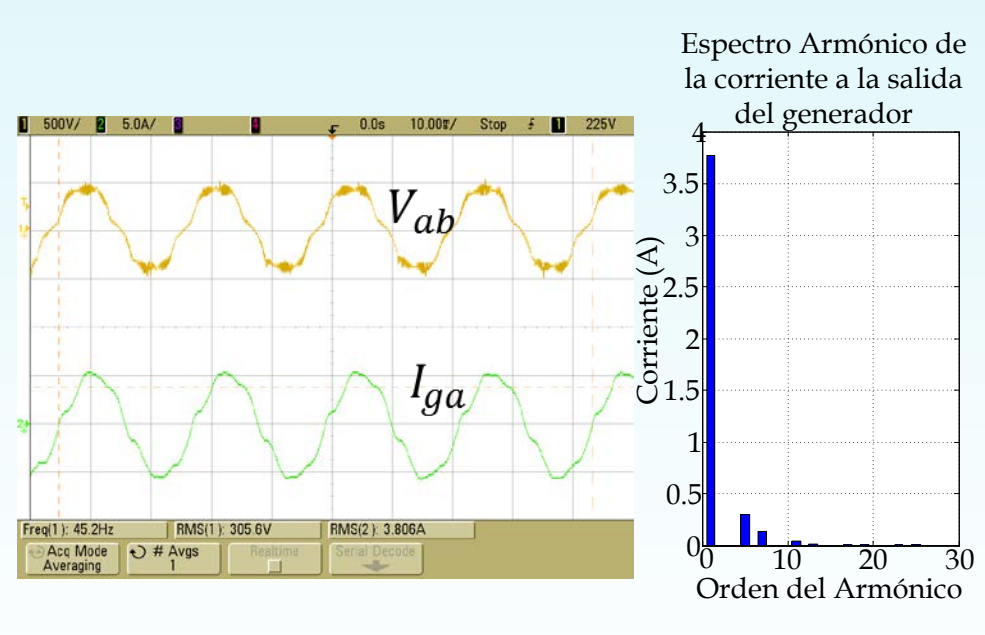


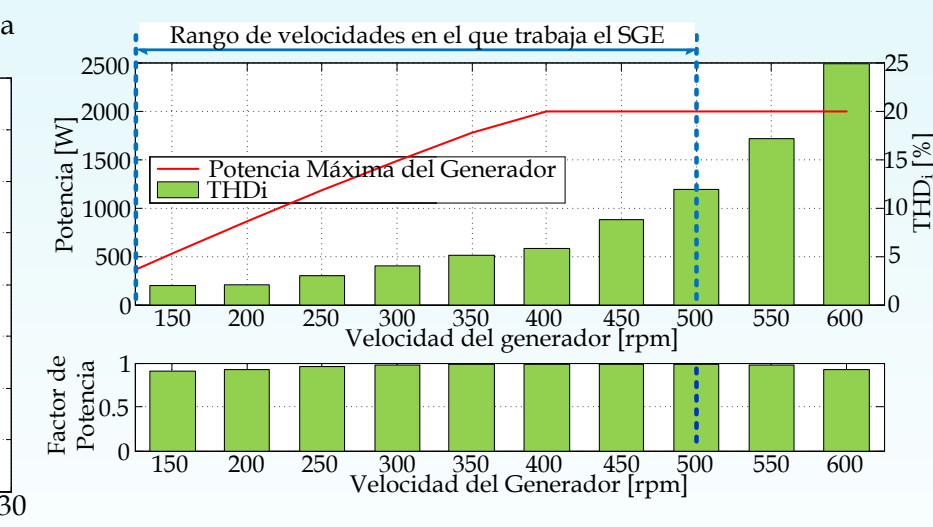






Control Modo Corriente Pico Resultados Experimentales



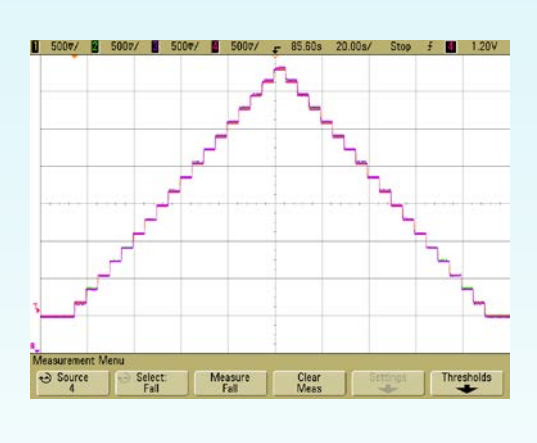


THD_i entre 1.93% y 11.93 %

Velocidad de 450 rpm y Potencia de 2 kW

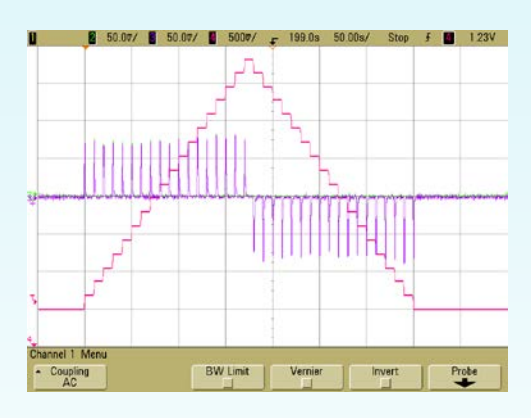
FP entre 0.9 hasta 0.98

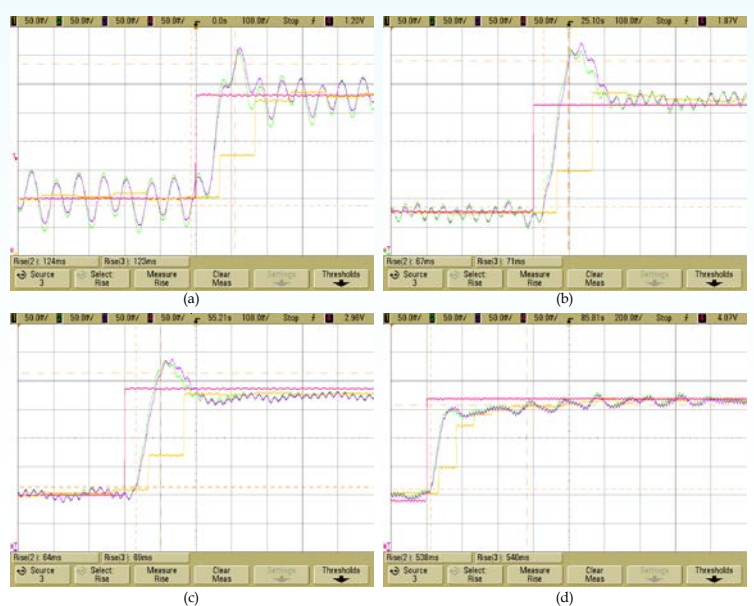
Estimador de Velocidad empleando LKF Resultados Experimentales

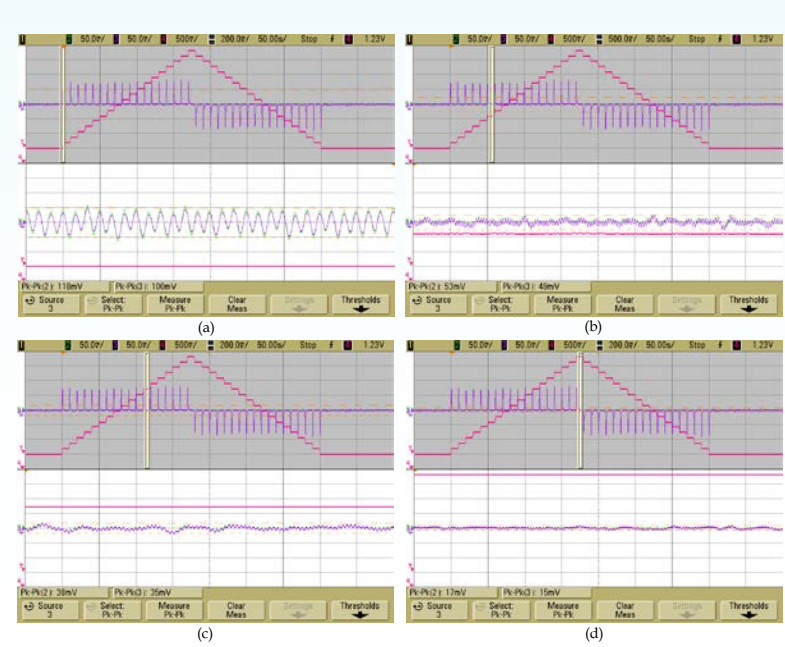




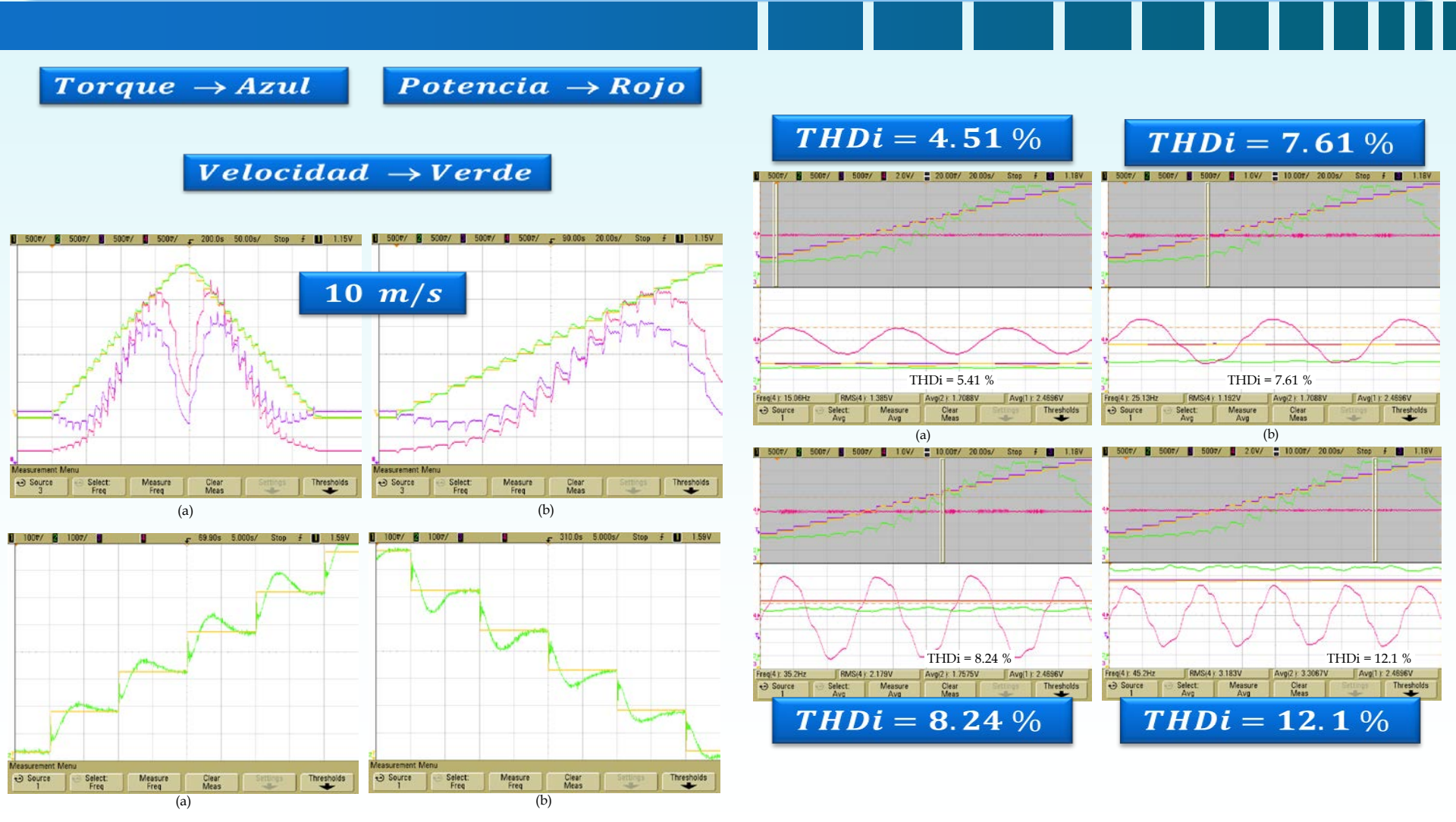








Lazo de Velocidad Respuesta Experimental



Sistema de Generación Eólica Experimental



RMS(4):No signal

U ₽ ₩ -C=

RUN

Invert



Dr. Oscar Carranza Castillo